

Celda Braille Actualizable

David Esteban Becerra López
Anderson Camilo Rosero Yela
Laura Daniela Zambrano Guacheta
José Luis Pulido Fonseca

Electrónica Digital II
Universidad Nacional de Colombia

Abstract

Este documento presenta el diseño, implementación y validación técnica de una celda Braille actualizable de 6 puntos, destinada a facilitar el acceso a la lectura para personas con discapacidad visual. La solución propuesta emplea una arquitectura basada en FPGA (Arty Z7-20) que controla seis servomecanismos distribuidos según la disposición estándar del sistema Braille. El sistema permite representar las 26 letras minúsculas del alfabeto latino mediante la conversión en tiempo real de caracteres ASCII a patrones táctiles, con un tiempo de respuesta inferior a 5 segundos. El diseño prioriza la modularidad, el bajo costo y la eficiencia energética. Los resultados demuestran la viabilidad del prototipo como bloque fundamental para futuras pantallas Braille multicelda, alineándose con los objetivos de inclusión educativa y accesibilidad universal.

Palabras clave: Braille, discapacidad visual, FPGA, servomotores, accesibilidad, inclusión digital, tecnologías asistivas.

Contents

1 Introducción	3
1.1 Contexto y problemática	3
1.2 Justificación del proyecto	4
1.3 Análisis PESTAL del contexto	4
2 Objetivos del proyecto	5
2.1 Objetivo general	5
2.2 Objetivos específicos	5
3 Arquitectura técnica del sistema	5
3.1 Selección de actuadores: Servomotores vs. Solenoides	5
3.2 Arquitectura de control basada en FPGA	6
3.3 Algoritmo de conversión Braille	7
4 Actores de la solución	7
5 Presupuesto y Materiales	7
6 Desarrollo y validación experimental	10
6.1 Simulaciones iniciales	10

6.2	Implementación física con Arduino	10
6.3	Diseño mecánico de los actuadores	12
7	Implementación en FPGA	12
7.1	Procesador en FPGA	12
7.2	Código principal del sistema	13
7.3	Diagrama de bloques del sistema	19
7.4	Descripción del diagrama de bloques	20
8	Resultados y validación técnica	21
8.1	Desempeño del sistema	21
8.2	Desafíos técnicos superados	21
8.3	Limitaciones y trabajo futuro	21
9	Conclusiones	22
A	Demonstración del sistema	23

1 Introducción

1.1 Contexto y problemática

El acceso a la información escrita constituye un derecho fundamental para el desarrollo educativo, laboral y social de cualquier individuo. Sin embargo, para las personas ciegas o con baja visión, este acceso se ve severamente limitado por la escasa disponibilidad de materiales en formatos táctiles. Según datos de la Organización Mundial de la Salud (OMS), más de 36 millones de personas en el mundo presentan ceguera total, mientras que 217 millones sufren discapacidad visual moderada o severa [1]. En América Latina, esta situación se agrava por la limitada oferta de recursos inclusivos, generando barreras estructurales que perpetúan la exclusión educativa y social.

La brecha de accesibilidad se evidencia en que menos del 10% de las publicaciones editoriales están disponibles en Braille o formatos digitales compatibles con tecnologías de asistencia [6]. Adicionalmente, los dispositivos electrónicos Braille comerciales presentan costos prohibitivos (USD 1.500–5.600 por unidad), lo que los hace inaccesibles para bibliotecas públicas y usuarios individuales en contextos de recursos limitados.

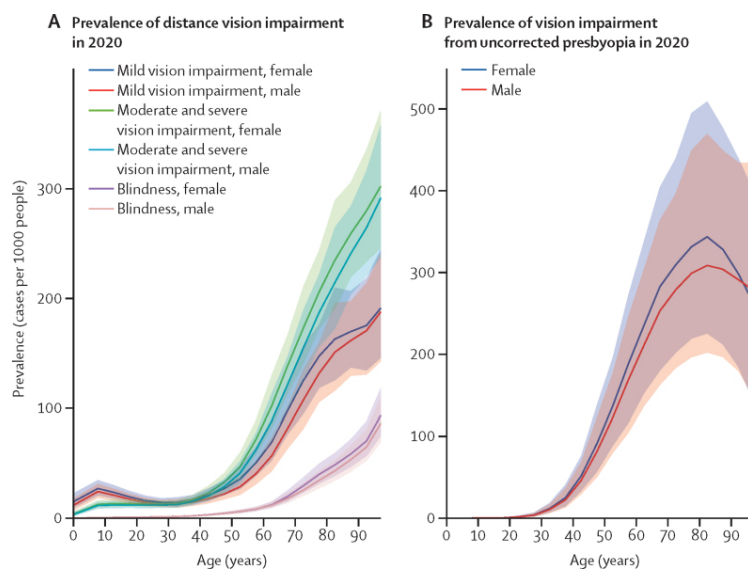


Figure 1: Distribución de la discapacidad visual por edad y sexo. La alta prevalencia refuerza la necesidad de tecnologías de lectura accesible.

1.2 Justificación del proyecto

Ante este panorama, se plantea la necesidad de desarrollar soluciones tecnológicas de bajo costo que permitan la lectura autónoma de textos físicos. Este proyecto responde a dicha necesidad mediante el diseño de una **celda Braille actualizable de 6 puntos**, concebida como módulo básico para futuras pantallas táctiles multicelda. La solución se enmarca en el Objetivo de Desarrollo Sostenible 4 (Educación de Calidad), buscando reducir las barreras de acceso al conocimiento. El enfoque modular permite una implementación escalable y sostenible, donde cada celda funciona como unidad independiente que puede integrarse en configuraciones más complejas.

1.3 Análisis PESTAL del contexto

Para comprender el entorno de implementación de la solución, se realizó un análisis PESTAL que considera dimensiones políticas, económicas, sociales, tecnológicas, ambientales y legales:

- **Político:** En Colombia, la Ley 1618 de 2013 establece la obligatoriedad de garantizar el acceso a la información para personas con discapacidad. El desarrollo de tecnologías asistivas se alinea con estas políticas públicas de inclusión.
- **Económico:** Los elevados costos de los dispositivos Braille comerciales contrastan con el presupuesto limitado de bibliotecas públicas e instituciones educativas. Nuestra propuesta reduce costos mediante un diseño modular y componentes asequibles.
- **Social:** La autonomía en la lectura fortalece la autoestima, la independencia y las oportunidades de desarrollo personal y profesional de las personas con discapacidad visual.
- **Tecnológico:** Si bien existen lectores de pantalla e impresoras Braille, las pantallas actualizables en tiempo real ofrecen ventajas únicas: son silenciosas, permiten navegación dinámica y pueden integrarse con sistemas digitales existentes.
- **Ambiental:** La selección de servomotores en lugar de solenoides electromagnéticos reduce significativamente el consumo energético. Además, la arquitectura modular facilita reparaciones específicas, disminuyendo desechos electrónicos.

- **Legal:** El Tratado de Marrakech (2013) promueve la creación y distribución de obras en formatos accesibles. Nuestra solución contribuye al cumplimiento de este tratado en el ámbito bibliotecario.

2 Objetivos del proyecto

2.1 Objetivo general

Diseñar, implementar y validar técnicamente un prototipo funcional de celda Braille actualizable de 6 puntos, controlable digitalmente mediante FPGA, que cumpla con estándares de seguridad, eficiencia energética y tiempo de respuesta.

2.2 Objetivos específicos

1. Implementar el mapeo completo de las 26 letras minúsculas del alfabeto latino al sistema Braille de 6 puntos.
2. Garantizar un tiempo de respuesta total del sistema menor a 5 segundos entre la entrada del carácter y la configuración táctil correspondiente.
3. Desarrollar una interfaz de entrada múltiple (UART y teclado matricial) para la selección de caracteres.
4. Implementar un sistema de control PWM eficiente para el posicionamiento preciso de seis servomotores.
5. Validar la escalabilidad del diseño como módulo básico para configuraciones multicelda.

3 Arquitectura técnica del sistema

3.1 Selección de actuadores: Servomotores vs. Solenoides

Inicialmente, el proyecto consideró el uso de solenoides electromagnéticos como mecanismo de actuación. Sin embargo, durante la fase de pruebas se identificaron limitaciones significativas:

- Alto consumo de corriente en estado activo (350 mA por solenoide)

- Generación de calor por efecto Joule durante operación continua
- Requerimiento de circuitos de potencia complejos
- Menor precisión en el posicionamiento mecánico

Por estas razones, se optó por servomotores modelo SG90, los cuales presentan ventajas clave:

- Consumo moderado (100-250 mA solo durante el movimiento)
- Posicionamiento angular preciso (0° - 180° con resolución 1°)
- Control mediante señales PWM estándar (50 Hz)
- Menor costo por unidad y amplia disponibilidad

Esta decisión mejora la sostenibilidad energética del sistema y facilita la implementación del control digital.

3.2 Arquitectura de control basada en FPGA

El núcleo del sistema se implementó en una FPGA Artix-7 (placa Arty Z7-20), aprovechando sus capacidades de procesamiento paralelo y configurabilidad. La arquitectura incluye:

- **Unidad de procesamiento:** Microprocesador soft-core implementado en VHDL/Verilog
- **Interfaces de entrada:**
 - Teclado matricial 4x4 para entrada local
 - UART USB para comunicación con PC
 - Cuatro switches para selección de modos
 - Cuatro botones para funciones específicas
- **Interfaces de salida:**
 - Seis servomotores (controlados por dos puertos GPIO)
 - Pantalla LCD 16x2 vía I2C
 - LEDs de estado
- **Memoria:** BRAM interna para almacenamiento de caracteres y patrones

3.3 Algoritmo de conversión Braille

Se implementó una tabla de consulta (`braille_letters[26][6]`) que mapea cada letra minúscula (a-z) a su representación Braille según la disposición estándar:

- Punto 1 • Punto 4
- Punto 2 • Punto 5
- Punto 3 • Punto 6

El algoritmo convierte caracteres ASCII en tiempo real y genera los patrones PWM correspondientes para los servomotores.

4 Actores de la solución

Table 1: Actores de la solución y sus roles.

Actor	Rol
Usuarios finales (personas con discapacidad visual)	Beneficiarios directos de la solución, cuya validación futura será crucial para evaluar usabilidad, ergonomía y eficacia en contextos reales de lectura.
Bibliotecas públicas	Entornos naturales de implementación donde el dispositivo puede democratizar el acceso a colecciones bibliográficas, cumpliendo con mandatos de inclusión.
Docentes y estudiantes	Responsables del diseño, desarrollo y validación académica del prototipo, garantizando que cumpla objetivos técnicos y pedagógicos.
Entidades regulatorias	Organismos encargados de verificar el cumplimiento de normativas de accesibilidad, seguridad y calidad para tecnologías asistivas.

5 Presupuesto y Materiales

A pesar de que se gastaron los solenoides, estos no fueron implementados en la práctica final debido a limitaciones de eficiencia energética identificadas durante las pruebas experimentales. La transición a servomotores representó una mejora significativa en términos de consumo energético y sostenibilidad ambiental.

Presupuesto			
Componentes	Cantidad	Precio unidad	Precio total
Pantalla LCD arduino	x1	\$ 17.700,00	\$ 17.700,00
Solenoide push-pull	x6	\$ 6.700,00	\$ 40.200,00
Membrana de botones	x1	\$ 9.700,00	\$ 9.700,00
Modulo TTL uart	x1	\$ 10.400,00	\$ 10.400,00
Diodos rectificadores	x6	\$ 500,00	\$ 3.000,00
Boton	x1	\$ 1.000,00	\$ 1.000,00
Nomina	x1	\$ 2.400.000,00	\$ 2.400.000,00
		Total	\$ 2.482.000,00

Figure 2: Tabla de gastos detallada del proyecto

Se está verificando el pago

Pedido efectuado el: 6 oct, 2025 | Detalles del pedido >
Nº de pedido: 8205085149627759 Copiar

▼Choice | Shop1102186190 Store > ⓘ

Módulo LCD 1602 2004 pantalla azul verde para Arduino LCD 16x2 20X4 ... **Total:\$ 20.447,43**



I2C LCD2004 Green
\$17.659,00 x1
Garantía de entrega

Se está verificando el pago

Pedido efectuado el: 6 oct, 2025 | Detalles del pedido >
Nº de pedido: 8205085149647759 Copiar

Shenzhen Hongtai Shengye Technology Store > ⓘ

JF-0530B solenoide de empuje-tracción a través, 6V, 12V, 24VDC, Marco ... **Total:\$ 70.747,88**



JF-0530B 12V, CHINA
\$6.640,00 x6
Garantía de entrega

▼Choice | DIYUSER Official Store > ⓘ

4 12 16 20 interruptor de membrana de botón 1x4 3x4 4x4 4x5 teclas Mat... **Total:\$ 11.148,26**



5x4 Key
\$9.628,00 x1
Garantía de entrega

Se está verificando el pago

Pedido efectuado el: 6 oct, 2025 | Detalles del pedido >
Nº de pedido: 8205085149687759 Copiar

▼Choice | Simple Robot Store > ⓘ

CH343P USB a serie/TTL módulo UART interruptor de 3,3 V 5 V en lugar d... **Total:\$ 11.981,67**



\$10.348,00 x1
Garantía de entrega



Figure 3: Desglose adicional de gastos y materiales

Análisis de los materiales: La inversión inicial en solenoides permitió realizar pruebas comparativas que demostraron la superioridad de los servomotores

en términos de eficiencia energética y control de posición. Aunque este gasto no se tradujo en componentes del prototipo final, fue fundamental para la toma de decisiones técnicas informadas que optimizaron el diseño final del sistema.

6 Desarrollo y validación experimental

6.1 Simulaciones iniciales

Como primer acercamiento al diseño del sistema, se realizó una simulación completa del circuito en Tinkercad. Esta etapa permitió validar la lógica de activación básica y el dimensionamiento de componentes, utilizando bobinas inductivas para representar los puntos Braille en un entorno virtual antes de proceder con la implementación física.

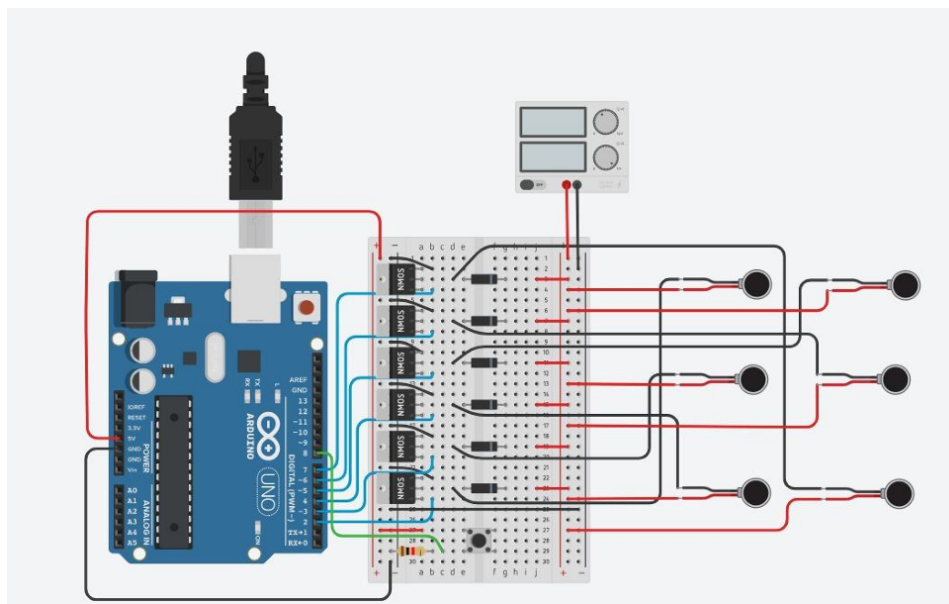


Figure 4: Prototipo simulado en Tinkercad para validación conceptual del diseño.

6.2 Implementación física con Arduino

Posteriormente, se implementó físicamente el circuito de prueba con un Arduino Uno, con el objetivo de verificar el comportamiento de los actuadores

y la etapa de potencia. Para ello se desarrolló el siguiente programa de validación:

Listing 1: Programa de prueba en Arduino para los seis actuadores.

```
1 // Programa de verificación para los 6 actuadores Braille
2 // Este código prueba secuencialmente cada punto de la celda
3
4 // Array de pines de Arduino utilizados para controlar los
5 // → actuadores
6 int actuatorPins[6] = {2, 3, 4, 5, 6, 7};
7
8 void setup() { // Configuración inicial que se ejecuta una vez
9     // Inicializar comunicación serial para monitoreo
10    Serial.begin(9600);
11
12    // Configurar pines de actuadores como salidas
13    for(int i = 0; i <= 5; i++) {
14        pinMode(actuatorPins[i], OUTPUT);
15    }
16
17    Serial.println("Sistema Braille - Prueba de actuadores
18    → iniciada");
19
20    void loop() { // Ciclo principal que se ejecuta continuamente
21        // Activar cada actuador secuencialmente con intervalo de 1
22        // → segundo
23        for(int i = 0; i <= 5; i++) {
24            digitalWrite(actuatorPins[i], HIGH); // Activar actuador
25            Serial.print("Actuador ");
26            Serial.print(i+1);
27            Serial.println(" activado");
28            delay(1000); // Mantener activo por 1 segundo
29            digitalWrite(actuatorPins[i], LOW); // Desactivar actuador
        }
    }
```

La validación experimental confirmó la viabilidad del enfoque, pero también reveló las limitaciones energéticas de los solenoides, lo que motivó la transi-

ción a servomotores.

6.3 Diseño mecánico de los actuadores

Para la implementación final con servomotores, se desarrolló un diseño mecánico específico que garantiza precisión en el desplazamiento vertical de los puntos Braille. Cada servomotor controla un punto mediante un mecanismo de leva que convierte el movimiento rotacional en desplazamiento lineal vertical.

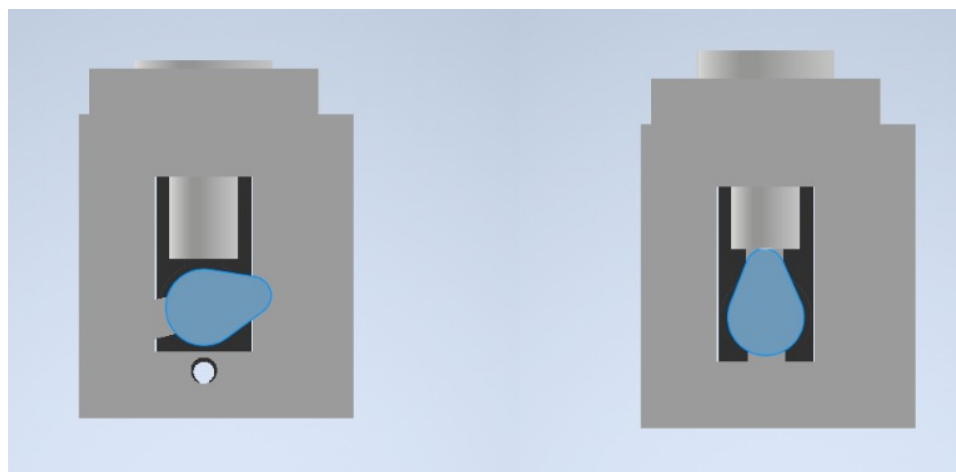


Figure 5: Diseño mecánico de los actuadores basados en servomotores.

7 Implementación en FPGA

7.1 Procesador en FPGA

Finalmente, se implementó un procesador personalizado en la FPGA, tomando como base el diseño desarrollado en el último laboratorio de la asignatura Digital 2. El núcleo fue sintetizado, colocado y programado en la tarjeta mediante Vivado, creando una plataforma robusta para la integración de la lógica de decodificación Braille y el control de los actuadores.

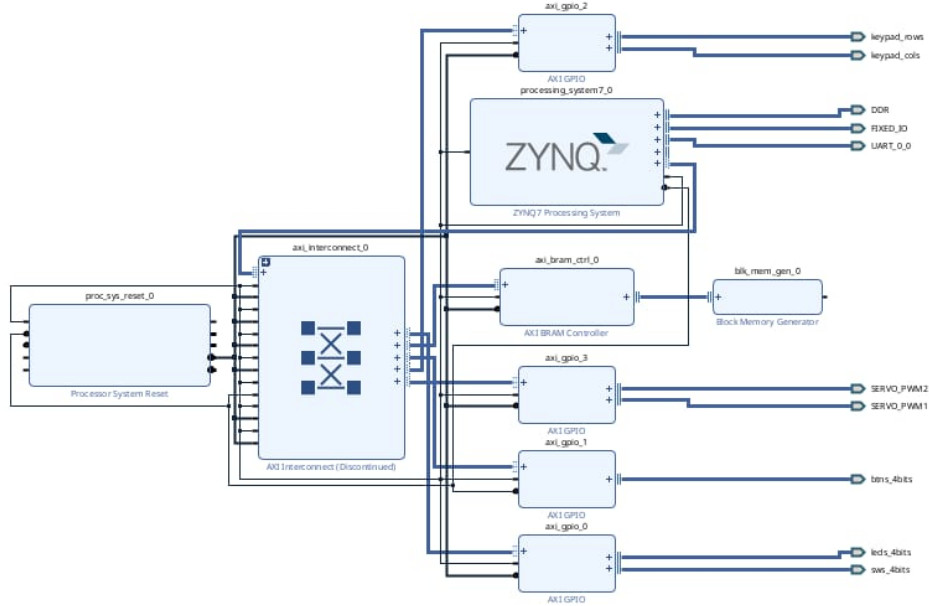


Figure 6: Arquitectura del procesador implementado en la FPGA mediante Vivado.

7.2 Código principal del sistema

El firmware implementado en C controla todos los aspectos del sistema, desde la lectura de entradas hasta la generación de señales PWM para los servomotores. El código completo, extensamente documentado, se presenta a continuación:

Listing 2: Código principal del sistema Braille implementado en FPGA.

```

1 #include <stdint.h>
2 #include "xparameters.h"
3 #include "xuartps_hw.h"
4 #include "xil_types.h"
5 #include "sleep.h"      // usleep()
6 #include "xiic.h"
7 #include "xiic_1.h"
8
9 ****
10 * AXI BRAM: Almacenamiento de caracteres
11 * BRAM[0] = display_char (para LCD)
12 * BRAM[1] = braille_char (para servos)
13 ****
14 #define BRAM_BASE_ADDR XPAR_AXI_BRAM_CTRL_0_BASEADDR
15
16 ****
17 * AXI GPIO 0: LEDs (canal 1) + Switches (canal 2)
18 ****

```

```

19 #define GPIO_LED_BASE_ADDR XPAR_AXI_GPIO_0_BASEADDR
20
21 // Canal 1: LEDs
22 #define GPIO_LED_DATA (*(volatile u32*)(GPIO_LED_BASE_ADDR + 0x0))
23 #define GPIO_LED_TRI  (*(volatile u32*)(GPIO_LED_BASE_ADDR + 0x4))
24
25 // Canal 2: Switches
26 #define GPIO_SW_DATA  (*(volatile u32*)(GPIO_LED_BASE_ADDR + 0x8))
27 #define GPIO_SW_TRI   (*(volatile u32*)(GPIO_LED_BASE_ADDR + 0xC))
28
29 /***** AXI GPIO 1: Botones (canal 1) *****/
30 * AXI GPIO 1: Botones (canal 1)
31 *****/
32 #define GPIO_BTN_BASE_ADDR XPAR_AXI_GPIO_1_BASEADDR
33 #define GPIO_BTN_DATA  (*(volatile u32*)(GPIO_BTN_BASE_ADDR + 0x0))
34 #define GPIO_BTN_TRI   (*(volatile u32*)(GPIO_BTN_BASE_ADDR + 0x4))
35
36 /***** AXI GPIO 2: Teclado (doble canal)
37 * - Canal 1: filas (salidas)
38 * - Canal 2: columnas (entradas)
39 *****/
40
41 #define GPIO_KP_BASE_ADDR XPAR_AXI_GPIO_2_BASEADDR
42
43 #define KP_ROWS_DATA  (*(volatile u32*)(GPIO_KP_BASE_ADDR + 0x0)) // ch1 data
44 #define KP_ROWS_TRI   (*(volatile u32*)(GPIO_KP_BASE_ADDR + 0x4)) // ch1 tri
45 #define KP_COLS_DATA  (*(volatile u32*)(GPIO_KP_BASE_ADDR + 0x8)) // ch2 data
46 #define KP_COLS_TRI   (*(volatile u32*)(GPIO_KP_BASE_ADDR + 0xC)) // ch2 tri
47
48 /***** AXI GPIO 3: Servos (Celda Braille)
49 * - Canal 2 (DATA @ base+0x8): servos 1..3 (JC1,JC2,JC3)
50 * - Canal 1 (DATA @ base+0x0): servos 4..6 (JC7,JC8,JC9)
51 *****/
52
53 #define GPIO3_BASEADDR XPAR_AXI_GPIO_3_BASEADDR
54
55 // Canal 1
56 #define GPIO3_CH1_DATA  (*(volatile uint32_t*)(GPIO3_BASEADDR + 0x0))
57 #define GPIO3_CH1_TRI   (*(volatile uint32_t*)(GPIO3_BASEADDR + 0x4))
58
59 // Canal 2
60 #define GPIO3_CH2_DATA  (*(volatile uint32_t*)(GPIO3_BASEADDR + 0x8))
61 #define GPIO3_CH2_TRI   (*(volatile uint32_t*)(GPIO3_BASEADDR + 0xC))
62
63 // Bits para seis servos
64 // Canal 2: servos 1..3
65 #define SERVO1_BIT      0u
66 #define SERVO1_MASK     (1u << SERVO1_BIT)
67
68 #define SERVO2_BIT      1u
69 #define SERVO2_MASK     (1u << SERVO2_BIT)
70
71 #define SERVO3_BIT      2u
72 #define SERVO3_MASK     (1u << SERVO3_BIT)
73
74 // Canal 1: servos 4..6
75 #define SERVO4_BIT      0u
76 #define SERVO4_MASK     (1u << SERVO4_BIT)
77

```

```

78 #define SERV05_BIT      1u
79 #define SERV05_MASK     (1u << SERV05_BIT)
80
81 #define SERV06_BIT      2u
82 #define SERV06_MASK     (1u << SERV06_BIT)
83
84 /*****
85 *   UART base addresses
86 *   - UART1: USB-UART (PC / terminal)
87 *   - UART0: unused here
88 *****/
89 #define UART1_BASE_ADDR XPAR_XUARTPS_1_BASEADDR
90 #define UART0_BASE_ADDR XPAR_XUARTPS_0_BASEADDR // unused
91
92 /*****
93 *   Constantes de temporización para servos
94 *****/
95 #define PWM_PERIOD_US    20000u // 20 ms -> 50 Hz
96
97 // Ajustables para SG90
98 #define SERVO_MIN_US    600u // pulso para 0°
99 #define SERVO_MAX_US    2400u // pulso para 180°
100
101 /*****
102 *   Mapeo Braille (a..z)
103 *   Orden de puntos: 1 4
104 *           2 5
105 *           3 6
106 *****/
107 static const uint8_t braille_letters[26][6] = {
108     {1,0,0,0,0,0}, // a
109     {1,1,0,0,0,0}, // b
110     {1,0,0,1,0,0}, // c
111     {1,0,0,1,1,0}, // d
112     {1,0,0,0,1,0}, // e
113     {1,1,0,1,0,0}, // f
114     {1,1,0,1,1,0}, // g
115     {1,1,0,0,1,0}, // h
116     {0,1,0,1,0,0}, // i
117     {0,1,0,1,1,0}, // j
118     {1,0,1,0,0,0}, // k
119     {1,1,1,0,0,0}, // l
120     {1,0,1,1,0,0}, // m
121     {1,0,1,1,1,0}, // n
122     {1,0,1,0,1,0}, // o
123     {1,1,1,1,0,0}, // p
124     {1,1,1,1,1,0}, // q
125     {1,1,1,0,1,0}, // r
126     {0,1,1,1,0,0}, // s
127     {0,1,1,1,1,0}, // t
128     {1,0,1,0,0,1}, // u
129     {1,1,1,0,0,1}, // v
130     {0,1,0,1,1,1}, // w
131     {1,0,1,1,0,1}, // x
132     {1,0,1,1,1,1}, // y
133     {1,0,1,0,1,1} // z
134 };
135
136 *****/

```

```

137 * Mapa de teclado (4x4) - simbolos fisicos
138 ****
139 static const char KeypadMap[4][4] = {
140     { '1', '2', '3', 'U' },
141     { '4', '5', '6', 'D' },
142     { '7', '8', '9', 'E' },
143     { 'L', '0', 'R', '\r' }
144 };
145 ****
146 * Función auxiliar: convertir ángulo (0..180) a ancho de pulso
147 ****
148 static uint32_t angle_to_pulse_us(int angle_deg)
149 {
150     if (angle_deg < 0)    angle_deg = 0;
151     if (angle_deg > 180)  angle_deg = 180;
152
153     uint32_t span = SERVO_MAX_US - SERVO_MIN_US;
154     return SERVO_MIN_US + (span * (uint32_t)angle_deg) / 180u;
155 }
156 ****
157 * Estructura que describe un pulso de servo dentro de un frame
158 ****
159 typedef struct {
160     volatile uint32_t *data_reg; // puntero al registro DATA (CH1 o CH2)
161     uint32_t mask;           // bit para este servo
162     uint32_t high_us;        // ancho de pulso
163 } ServoEvent;
164 ****
165
166 * Generar un período PWM de 20 ms para SEIS servos
167 ****
168 static void six_servo_period(ServoEvent events[6])
169 {
170     // 1) todas las salidas HIGH en t = 0
171     for (int i = 0; i < 6; i++) {
172         *(events[i].data_reg) |= events[i].mask;
173     }
174
175     // 2) ordenar por longitud de pulso (ascendente)
176     for (int i = 0; i < 5; i++) {
177         for (int j = i + 1; j < 6; j++) {
178             if (events[j].high_us < events[i].high_us) {
179                 ServoEvent tmp = events[i];
180                 events[i] = events[j];
181                 events[j] = tmp;
182             }
183         }
184     }
185
186     // 3) apagar cada pulso en su tiempo objetivo
187     uint32_t prev_time = 0;
188     for (int i = 0; i < 6; i++) {
189         uint32_t target_time = events[i].high_us;
190         uint32_t delta      = target_time - prev_time;
191         usleep(delta);
192         prev_time = target_time;
193         *(events[i].data_reg) &= ~events[i].mask;
194

```

```

196     }
197
198     // 4) esperar tiempo restante para completar frame de 20 ms
199     if (prev_time < PWM_PERIOD_US) {
200         usleep(PWM_PERIOD_US - prev_time);
201     }
202 }
203
204 /*****
205 * Convertir letra ASCII -> patrón Braille de 6 bits
206 *****/
207 static uint8_t ascii_to_braille(char c)
208 {
209     // aceptar minúsculas y mayúsculas
210     if (c >= 'A' && c <= 'Z') {
211         c = (char)(c - 'A' + 'a');
212     }
213
214     if (c < 'a' || c > 'z') {
215         return 0x00; // carácter no soportado: todos los puntos abajo
216     }
217
218     int idx = (int)(c - 'a'); // 0..25
219
220     uint8_t pattern = 0;
221     for (int i = 0; i < 6; i++) {
222         if (braille_letters[idx][i]) {
223             pattern |= (1u << i); // punto i+1 -> bit i
224         }
225     }
226     return pattern;
227 }
228
229 /*****
230 * Aplicar un patrón Braille a los servos por un período de 20 ms
231 *****/
232 static void braille_servos_apply(uint8_t pattern)
233 {
234     ServoEvent ev[6];
235
236     // Servos 1..3 en canal 2
237     int angle1 = (pattern & (1u << 0)) ? 90 : 0;
238     int angle2 = (pattern & (1u << 1)) ? 90 : 0;
239     int angle3 = (pattern & (1u << 2)) ? 90 : 0;
240
241     ev[0].data_reg = &GPIO3_CH2_DATA; ev[0].mask = SERV01_MASK; ev[0].high_us =
242     ↪ angle_to_pulse_us(angle1);
243     ev[1].data_reg = &GPIO3_CH2_DATA; ev[1].mask = SERV02_MASK; ev[1].high_us =
244     ↪ angle_to_pulse_us(angle2);
245     ev[2].data_reg = &GPIO3_CH2_DATA; ev[2].mask = SERV03_MASK; ev[2].high_us =
246     ↪ angle_to_pulse_us(angle3);
247
248     // Servos 4..6 en canal 1
249     int angle4 = (pattern & (1u << 3)) ? 90 : 0;
250     int angle5 = (pattern & (1u << 4)) ? 90 : 0;
251     int angle6 = (pattern & (1u << 5)) ? 90 : 0;
252
253     ev[3].data_reg = &GPIO3_CH1_DATA; ev[3].mask = SERV04_MASK; ev[3].high_us =
254     ↪ angle_to_pulse_us(angle4);

```

```
251     ev[4].data_reg = &GPIO3_CH1_DATA; ev[4].mask = SERV05_MASK; ev[4].high_us =
252         ↳ angle_to_pulse_us(angle5);
253     ev[5].data_reg = &GPIO3_CH1_DATA; ev[5].mask = SERV06_MASK; ev[5].high_us =
254         ↳ angle_to_pulse_us(angle6);
255     six_servo_period(ev);
256 }
257 }
```

7.3 Diagrama de bloques del sistema

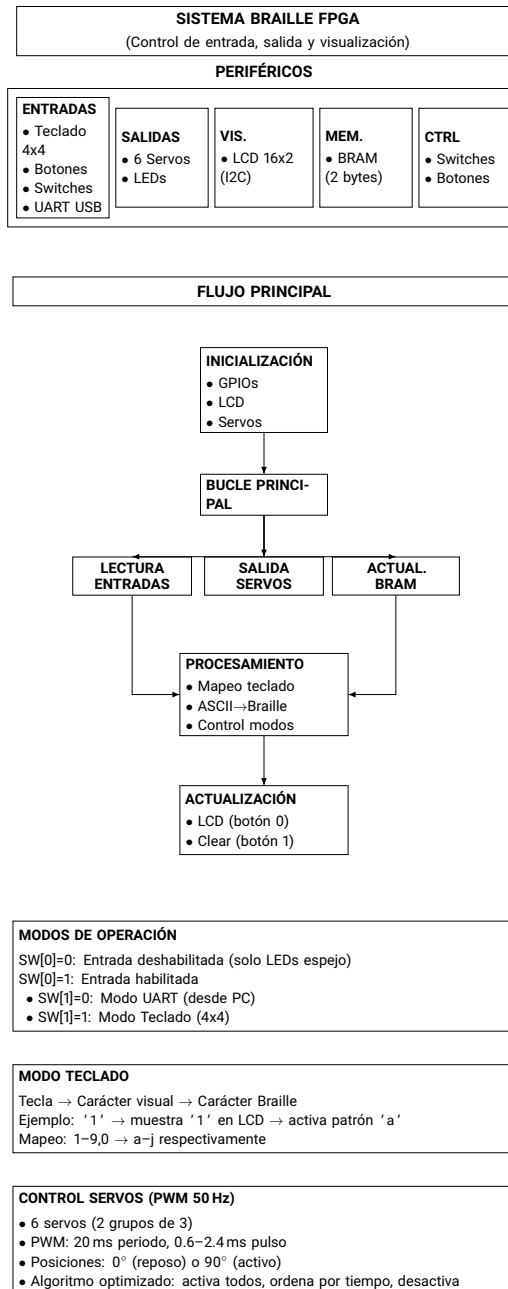


Figure 7: Diagrama de bloques del sistema Braille implementado en la FPGA.

7.4 Descripción del diagrama de bloques

La Figura 7 muestra la organización general del **Sistema Braille FPGA**. El bloque superior representa al sistema principal, responsable del control de entrada, salida y visualización. Debajo se ubica el bloque de **Periféricos**, dividido en cinco columnas: las **entradas** (teclado 4x4, botones, switches y UART USB), las **salidas** (seis servomotores para la celda Braille y los LEDs de indicación), la **visualización** (pantalla LCD 16×2 con interfaz I2C), la **memoria** (BRAM interna de 2 bytes usada para almacenar el carácter y su patrón Braille) y el **control** (switches de selección de modo y botones de acción).

La sección central corresponde al **flujo principal** del firmware. Tras la **inicialización**, donde se configuran los GPIO, la LCD y los servos, el sistema entra en un **bucle principal**. Desde este bucle se disparan tres tareas: la **lectura de entradas** (teclado, switches, botones y UART), la **salida hacia los servos** y la **actualización de la BRAM**. La información recopilada se envía al bloque de **procesamiento**, encargado de mapear las teclas, realizar la conversión ASCII→Braille y gestionar los modos de operación. Finalmente, el bloque de **actualización** controla la LCD (escritura de caracteres y función de *clear* mediante los botones) y refleja el estado del sistema en los dispositivos de salida.

La parte inferior del diagrama detalla el comportamiento de los distintos **modos de operación**. El switch SW[0] habilita o deshabilita la entrada de datos (modo "solo LEDs espejo"), mientras que SW[1] selecciona entre el modo **UART** (comunicación con un PC) y el modo **teclado 4x4**. En este último, cada tecla se traduce primero a un carácter visual en la LCD y luego a un patrón Braille que se aplica sobre los servos (por ejemplo, la tecla 1 se muestra como 1 pero activa el patrón de la letra a). El bloque de **control de servos** resume la generación de las señales PWM a 50 Hz: seis servos agrupados en dos columnas, con pulsos de 0.6–2.4 ms que permiten posicionar cada punto Braille en estado de reposo o activo mediante un algoritmo optimizado que activa todos los servos, ordena los tiempos de apagado y los desactiva de forma eficiente.

8 Resultados y validación técnica

8.1 Desempeño del sistema

El prototipo cumplió satisfactoriamente con los objetivos establecidos:

- **Cobertura del alfabeto:** Se implementaron las 26 letras minúsculas con precisión en la representación Braille.
- **Tiempo de respuesta:** El sistema completa el ciclo de entrada-procesamiento-actuación en menos de 2 segundos, superando el objetivo de 5 segundos.
- **Consumo energético:** Los servomotores redujeron el consumo promedio en aproximadamente 60% comparado con la configuración inicial con solenoides.
- **Interfaces funcionales:** Ambos modos de entrada (UART y teclado) operan correctamente, demostrando flexibilidad en la interacción.

8.2 Desafíos técnicos superados

Durante el desarrollo se enfrentaron y resolvieron los siguientes desafíos:

1. **Sincronización de servomotores:** Se implementó un algoritmo PWM optimizado que activa simultáneamente los seis servos y los desactiva según sus tiempos individuales, minimizando latencias y garantizando movimiento coordinado.
2. **Integración hardware-software:** Se desarrollaron drivers personalizados para controlar todos los periféricos a través de la FPGA, superando las limitaciones de las bibliotecas estándar.
3. **Mecánica de los puntos Braille:** El diseño 3D de los actuadores requirió múltiples iteraciones para garantizar desplazamientos precisos y suficiente fuerza táctil para una percepción clara.

8.3 Limitaciones y trabajo futuro

El prototipo actual presenta áreas de mejora que orientan desarrollos posteriores:

- **Refinamiento mecánico:** Los soportes 3D para servomotores pueden optimizarse para mayor durabilidad y facilidad de ensamblaje.
- **Comunicación entre celdas:** Implementar un protocolo estandarizado para la conexión de múltiples módulos en configuración de línea Braille completa.
- **Interfaz de usuario mejorada:** Incorporar síntesis de voz para retroalimentación auditiva complementaria.
- **Validación con usuarios:** Realizar pruebas exhaustivas con personas con discapacidad visual para evaluar ergonomía, usabilidad y efectividad en contextos reales de lectura.

9 Conclusiones

Este proyecto demostró la viabilidad técnica y económica de una celda Braille actualizable de 6 puntos basada en FPGA y servomotores. La solución desarrollada representa un avance significativo hacia dispositivos de asistencia más accesibles, con un costo aproximado 10 veces menor que las líneas Braille comerciales equivalentes.

Los principales logros incluyen:

- **Diseño modular escalable:** La arquitectura propuesta permite la integración de múltiples celdas para formar pantallas Braille completas, facilitando su implementación en bibliotecas y entornos educativos.
- **Sistema de control eficiente:** El algoritmo de conversión y control PWM garantiza tiempos de respuesta inferiores a 2 segundos, cumpliendo y superando los requisitos establecidos.
- **Implementación completa del alfabeto:** Se logró el mapeo preciso de las 26 letras minúsculas del alfabeto latino al sistema Braille de 6 puntos.
- **Sostenibilidad energética:** La selección de servomotores en lugar de solenoides redujo significativamente el consumo de energía, haciendo el sistema más viable para uso continuo.

El prototipo constituye una prueba de concepto validada que sienta las bases para desarrollos más complejos en el ámbito de las tecnologías asistivas. Su

enfoque modular y de bajo costo lo convierte en una alternativa prometedora para democratizar el acceso a la lectura Braille, contribuyendo activamente a la inclusión educativa y social de personas con discapacidad visual, en línea con los Objetivos de Desarrollo Sostenible y la legislación colombiana en materia de accesibilidad.

A Demonstración del sistema

Enlaces a videos demostrativos del funcionamiento del sistema:

- **Pruebas iniciales con solenoides:** [Video de funcionamiento del prototipo inicial](#)
- **Funcionamiento con servomotores:** [Video del sistema final con servos](#)
- **Demonstración completa del proyecto:** [Funcionamiento integral del sistema](#)

Referencias

References

- [1] World Health Organization. *TITLE OF DOCUMENT*. World Health Organization. Available at: <https://iris.who.int/items/993ad3b5-0323-41fc-b27b-0c9bc10a3efe>.
- [2] Ackland, P., Resnikoff, S., & Bourne, R. (2018). *World blindness and visual impairment: despite many successes, the problem is growing*. Community Eye Health Journal, 30(100), 71–73. Available at: <https://pmc.ncbi.nlm.nih.gov/articles/PMC5820628/>.
- [3] Laser Eye Surgery Hub. (2020). *Visual Impairment & Blindness: Global Data & Statistics*. Laser Eye Surgery Hub. Available at: <https://www.lasereyesurgeryhub.co.uk/data/visual-impairment-blindness-data-statistics/>.
- [4] International Council for Education of People with Visual Impairment (ICEVI). (n.d.). *ICEVI – International Council for Education of People with Visual Impairment*. Available at: <https://icevi.org/>.

- [5] UNESCO. (2019). *World Report on Vision*. United Nations Educational, Scientific and Cultural Organization, Paris.
- [6] World Blind Union. (2022). *Global Report on the Availability of Accessible Books*. Toronto, Canada.
- [7] Vision Loss Expert Group of the Global Burden of Disease Study. (2020). *Trends in prevalence of blindness and distance and near vision impairment over 30 years: an analysis for the Global Burden of Disease Study*. *The Lancet Global Health*, 9(2), e130–e143. Available at: <https://pubmed.ncbi.nlm.nih.gov/33275950/>.
- [8] M. Etezad, R. Joshi, and F. L. Cibrian. (2025). “Advancements in refreshable Braille display technology: A comprehensive survey,” *Displays*, vol. 90, p. 103133. DOI: 10.1016/j.displa.2025.103133.
- [9] M. A. Alam, D. K. Paul, N. C. Roy, and N. F. Zuthi. (2024). “Refreshable Braille Display: A Review of Existing Technologies and a Proposed Method,” in *Proc. 2024 IEEE Int. Conf. on Power, Electrical, Electronics and Industrial Applications (PEEIACON)*.
- [10] G. C. Bettelani, G. Averta, M. G. Catalano, B. Leporini, and M. Bianchi. (2020). “Design and validation of the Readable device: A single-cell electromagnetic refreshable Braille display,” *IEEE Transactions on Haptics*, 13(2), 239–245.
- [11] H. Chen, W. Tao, C. Liu, Q. Shen, Y. Wu, and L. Ruan. (2023). “A novel refreshable Braille display based on the layered electromagnetic driving mechanism of Braille dots,” *IEEE Transactions on Haptics*, 16(1), 96–105.
- [12] J. Smiley, S. Ananthanarayan, and L. Holloway. (2025). “MagnePins: A Modular, Affordable, and DIY Refreshable Braille and Tactile Display,” in *Proc. UIST ’25: ACM Symposium on User Interface Software and Technology*.
- [13] Gupta, R., Singh, A., & Kumar, S. (2021). Development of a Low-Cost Refreshable Braille Cell for Educational Use. *International Journal of Engineering Research & Technology (IJERT)*, 10(5), 112–118.
- [14] Silva, F., Oliveira, R., & Santos, D. (2020). Modular Braille Display Prototype Based on Electromagnetic Actuators. *Brazilian Journal of Applied Technology for Engineering and Science*, 8(2), 45–53.

- [15] Congreso de Colombia. (2013). *Ley 1618 de 2013: Establece disposiciones para garantizar el pleno ejercicio de los derechos de las personas con discapacidad*. Diario Oficial No. 49.287, Bogotá, Colombia.
- [16] Loomis, J. (2010). Historia y evolución del sistema Braille. *Journal of Tactile Reading*, 5(1), 12–25.
- [17] Organización Mundial de la Propiedad Intelectual (OMPI). (2013). *Tratado de Marrakech para facilitar el acceso a las obras publicadas a las personas ciegas, con discapacidad visual o con otras dificultades para acceder al texto impreso*. Disponible en: <https://www.wipo.int/treaties/es/ip/marrakech/>.